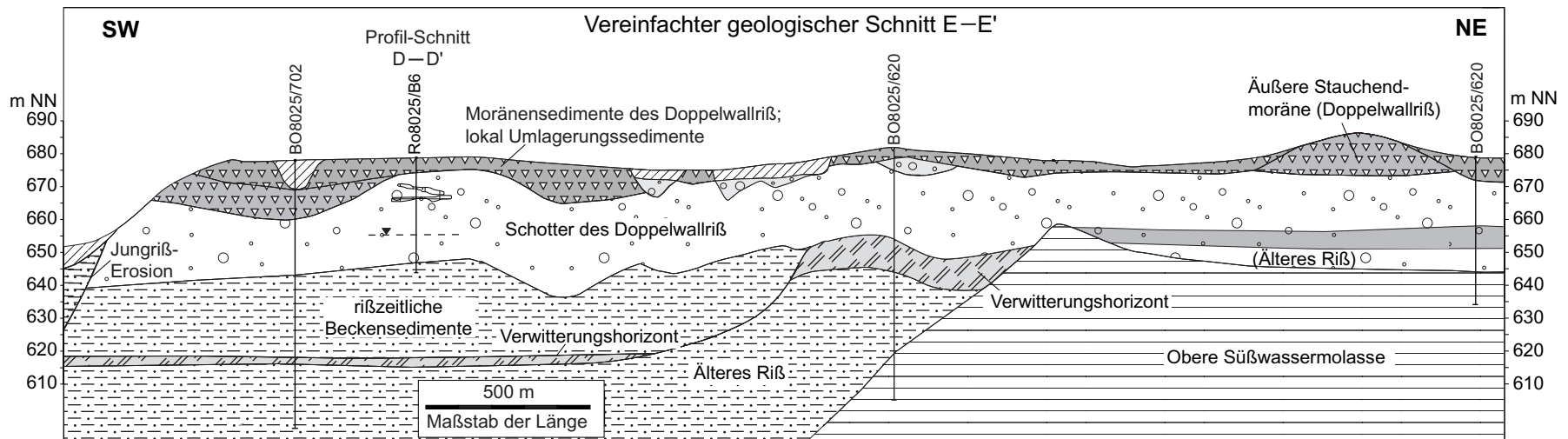
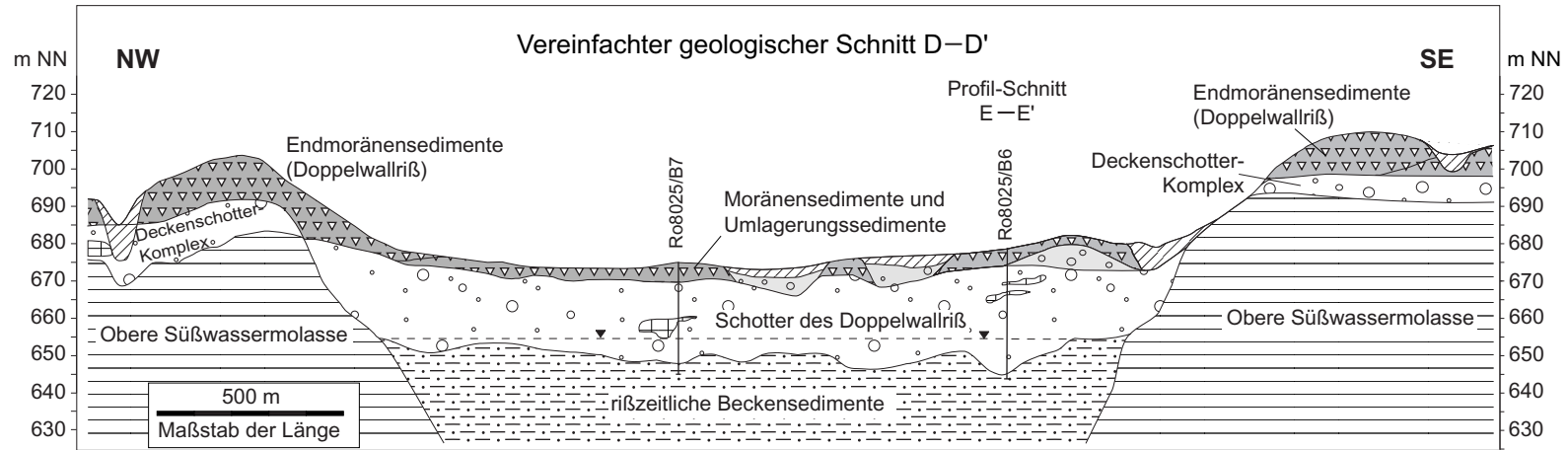


| L 8124/L 8126-48                                                                                                                                                                                                                                                                                                                                                                                                                                                                                                                                                                                                                                                                                                                                                                                                                                                                                                                                                                                                                                                                                                                                                                                                                                                                                                                                                                                                                                                                                                                                                                                                                                                                                                                                                                                                                                                                                                                                                                                                                                                                                                                                                                                                                                                                                                                                                                                                                                                                                                                                                                                                                                                                                                                                                                                                                                                                                                                                                                                                                                                                                                                                                                                                                                                                                                                                                                                                                                                                                                                                                                                                                                                                                                                                                                                                                                                                                                                                                                                                                                                                                                                                                             | 2                                                                                                                                                | NE Dietmanns, NW Rupprechts                                                                                      | 145,5 ha |       |       |                       |       |       |                                                                         |       |        |                                  |        |        |                                                                                                                  |        |         |                                             |
|------------------------------------------------------------------------------------------------------------------------------------------------------------------------------------------------------------------------------------------------------------------------------------------------------------------------------------------------------------------------------------------------------------------------------------------------------------------------------------------------------------------------------------------------------------------------------------------------------------------------------------------------------------------------------------------------------------------------------------------------------------------------------------------------------------------------------------------------------------------------------------------------------------------------------------------------------------------------------------------------------------------------------------------------------------------------------------------------------------------------------------------------------------------------------------------------------------------------------------------------------------------------------------------------------------------------------------------------------------------------------------------------------------------------------------------------------------------------------------------------------------------------------------------------------------------------------------------------------------------------------------------------------------------------------------------------------------------------------------------------------------------------------------------------------------------------------------------------------------------------------------------------------------------------------------------------------------------------------------------------------------------------------------------------------------------------------------------------------------------------------------------------------------------------------------------------------------------------------------------------------------------------------------------------------------------------------------------------------------------------------------------------------------------------------------------------------------------------------------------------------------------------------------------------------------------------------------------------------------------------------------------------------------------------------------------------------------------------------------------------------------------------------------------------------------------------------------------------------------------------------------------------------------------------------------------------------------------------------------------------------------------------------------------------------------------------------------------------------------------------------------------------------------------------------------------------------------------------------------------------------------------------------------------------------------------------------------------------------------------------------------------------------------------------------------------------------------------------------------------------------------------------------------------------------------------------------------------------------------------------------------------------------------------------------------------------------------------------------------------------------------------------------------------------------------------------------------------------------------------------------------------------------------------------------------------------------------------------------------------------------------------------------------------------------------------------------------------------------------------------------------------------------------------------------|--------------------------------------------------------------------------------------------------------------------------------------------------|------------------------------------------------------------------------------------------------------------------|----------|-------|-------|-----------------------|-------|-------|-------------------------------------------------------------------------|-------|--------|----------------------------------|--------|--------|------------------------------------------------------------------------------------------------------------------|--------|---------|---------------------------------------------|
| Rißkomplex                                                                                                                                                                                                                                                                                                                                                                                                                                                                                                                                                                                                                                                                                                                                                                                                                                                                                                                                                                                                                                                                                                                                                                                                                                                                                                                                                                                                                                                                                                                                                                                                                                                                                                                                                                                                                                                                                                                                                                                                                                                                                                                                                                                                                                                                                                                                                                                                                                                                                                                                                                                                                                                                                                                                                                                                                                                                                                                                                                                                                                                                                                                                                                                                                                                                                                                                                                                                                                                                                                                                                                                                                                                                                                                                                                                                                                                                                                                                                                                                                                                                                                                                                                   | <b>Kiese und Sande f. d. Verkehrswegebau, für Baustoffe und als Betonzuschlag</b><br>{Natur- und Brechsand, Rundkies, Splitt, Kies-Sand-Gemisch} |                                                                                                                  |          |       |       |                       |       |       |                                                                         |       |        |                                  |        |        |                                                                                                                  |        |         |                                             |
| <div style="text-align: center;"> <span style="border-bottom: 1px solid black; display: inline-block; width: 50px; margin: 0 auto;">5,7</span><br/> <span style="border-bottom: 1px solid black; display: inline-block; width: 50px; margin: 0 auto;">12,7</span> </div>                                                                                                                                                                                                                                                                                                                                                                                                                                                                                                                                                                                                                                                                                                                                                                                                                                                                                                                                                                                                                                                                                                                                                                                                                                                                                                                                                                                                                                                                                                                                                                                                                                                                                                                                                                                                                                                                                                                                                                                                                                                                                                                                                                                                                                                                                                                                                                                                                                                                                                                                                                                                                                                                                                                                                                                                                                                                                                                                                                                                                                                                                                                                                                                                                                                                                                                                                                                                                                                                                                                                                                                                                                                                                                                                                                                                                                                                                                     | Rohstofferkundungsbohrung Ro8025/B5 (BO8025/761), siehe Anhang, Teil 1                                                                           |                                                                                                                  |          |       |       |                       |       |       |                                                                         |       |        |                                  |        |        |                                                                                                                  |        |         |                                             |
| <div style="text-align: center;"> <span style="border-bottom: 1px solid black; display: inline-block; width: 50px; margin: 0 auto;">{1-4}</span><br/> <span style="border-bottom: 1px solid black; display: inline-block; width: 50px; margin: 0 auto;">{14-36}</span> </div>                                                                                                                                                                                                                                                                                                                                                                                                                                                                                                                                                                                                                                                                                                                                                                                                                                                                                                                                                                                                                                                                                                                                                                                                                                                                                                                                                                                                                                                                                                                                                                                                                                                                                                                                                                                                                                                                                                                                                                                                                                                                                                                                                                                                                                                                                                                                                                                                                                                                                                                                                                                                                                                                                                                                                                                                                                                                                                                                                                                                                                                                                                                                                                                                                                                                                                                                                                                                                                                                                                                                                                                                                                                                                                                                                                                                                                                                                                | Bohrungen BO8025/626-628, nordwestlicher Bereich des Vorkommens                                                                                  |                                                                                                                  |          |       |       |                       |       |       |                                                                         |       |        |                                  |        |        |                                                                                                                  |        |         |                                             |
| <div style="text-align: center;"> <span style="border-bottom: 1px solid black; display: inline-block; width: 50px; margin: 0 auto;">{1-4}</span><br/> <span style="border-bottom: 1px solid black; display: inline-block; width: 50px; margin: 0 auto;">{16-33}</span> </div>                                                                                                                                                                                                                                                                                                                                                                                                                                                                                                                                                                                                                                                                                                                                                                                                                                                                                                                                                                                                                                                                                                                                                                                                                                                                                                                                                                                                                                                                                                                                                                                                                                                                                                                                                                                                                                                                                                                                                                                                                                                                                                                                                                                                                                                                                                                                                                                                                                                                                                                                                                                                                                                                                                                                                                                                                                                                                                                                                                                                                                                                                                                                                                                                                                                                                                                                                                                                                                                                                                                                                                                                                                                                                                                                                                                                                                                                                                | Bohrungen BO8025/288-290, nordöstlicher und östlicher Bereich des Vorkommens                                                                     |                                                                                                                  |          |       |       |                       |       |       |                                                                         |       |        |                                  |        |        |                                                                                                                  |        |         |                                             |
| <div style="text-align: center;"> <span style="border-bottom: 1px solid black; display: inline-block; width: 50px; margin: 0 auto;">6-14</span><br/> <span style="border-bottom: 1px solid black; display: inline-block; width: 50px; margin: 0 auto;">7-26</span> </div>                                                                                                                                                                                                                                                                                                                                                                                                                                                                                                                                                                                                                                                                                                                                                                                                                                                                                                                                                                                                                                                                                                                                                                                                                                                                                                                                                                                                                                                                                                                                                                                                                                                                                                                                                                                                                                                                                                                                                                                                                                                                                                                                                                                                                                                                                                                                                                                                                                                                                                                                                                                                                                                                                                                                                                                                                                                                                                                                                                                                                                                                                                                                                                                                                                                                                                                                                                                                                                                                                                                                                                                                                                                                                                                                                                                                                                                                                                    | Bohrungen BO8025/324-327, 622-625, 656, 701, zentraler Bereich des Vorkommens                                                                    |                                                                                                                  |          |       |       |                       |       |       |                                                                         |       |        |                                  |        |        |                                                                                                                  |        |         |                                             |
| <div style="text-align: center;"> <span style="border-bottom: 1px solid black; display: inline-block; width: 50px; margin: 0 auto;">{5-12}</span><br/> <span style="border-bottom: 1px solid black; display: inline-block; width: 50px; margin: 0 auto;">{23-&gt; 24}</span> </div>                                                                                                                                                                                                                                                                                                                                                                                                                                                                                                                                                                                                                                                                                                                                                                                                                                                                                                                                                                                                                                                                                                                                                                                                                                                                                                                                                                                                                                                                                                                                                                                                                                                                                                                                                                                                                                                                                                                                                                                                                                                                                                                                                                                                                                                                                                                                                                                                                                                                                                                                                                                                                                                                                                                                                                                                                                                                                                                                                                                                                                                                                                                                                                                                                                                                                                                                                                                                                                                                                                                                                                                                                                                                                                                                                                                                                                                                                          | Bohrungen BO8025/328, 329, südwestlicher Bereich des Vorkommens                                                                                  |                                                                                                                  |          |       |       |                       |       |       |                                                                         |       |        |                                  |        |        |                                                                                                                  |        |         |                                             |
| <div style="text-align: center;"> <span style="border-bottom: 1px solid black; display: inline-block; width: 50px; margin: 0 auto;">1,5-7</span><br/> <span style="border-bottom: 1px solid black; display: inline-block; width: 50px; margin: 0 auto;">18-26</span> </div>                                                                                                                                                                                                                                                                                                                                                                                                                                                                                                                                                                                                                                                                                                                                                                                                                                                                                                                                                                                                                                                                                                                                                                                                                                                                                                                                                                                                                                                                                                                                                                                                                                                                                                                                                                                                                                                                                                                                                                                                                                                                                                                                                                                                                                                                                                                                                                                                                                                                                                                                                                                                                                                                                                                                                                                                                                                                                                                                                                                                                                                                                                                                                                                                                                                                                                                                                                                                                                                                                                                                                                                                                                                                                                                                                                                                                                                                                                  | Bohrungen BO8025/620, 765, 768, 791, südöstlicher Bereich des Vorkommens                                                                         |                                                                                                                  |          |       |       |                       |       |       |                                                                         |       |        |                                  |        |        |                                                                                                                  |        |         |                                             |
| <div style="text-align: center;"> <span style="border-bottom: 1px solid black; display: inline-block; width: 50px; margin: 0 auto;">4-8</span><br/> <span style="border-bottom: 1px solid black; display: inline-block; width: 50px; margin: 0 auto;">17-20</span> </div>                                                                                                                                                                                                                                                                                                                                                                                                                                                                                                                                                                                                                                                                                                                                                                                                                                                                                                                                                                                                                                                                                                                                                                                                                                                                                                                                                                                                                                                                                                                                                                                                                                                                                                                                                                                                                                                                                                                                                                                                                                                                                                                                                                                                                                                                                                                                                                                                                                                                                                                                                                                                                                                                                                                                                                                                                                                                                                                                                                                                                                                                                                                                                                                                                                                                                                                                                                                                                                                                                                                                                                                                                                                                                                                                                                                                                                                                                                    | Geoelektrikprofil Dietmanns-Truils/Bad Wurzach (Orpheus Geophysik 1997, GLA 1998)                                                                |                                                                                                                  |          |       |       |                       |       |       |                                                                         |       |        |                                  |        |        |                                                                                                                  |        |         |                                             |
| <p><b>Gesteinsbeschreibung:</b> Fein- bis Grobkies, schwach steinig, sandig bis stark sandig, schwach schluffig, lagenweise reine Sande, meist dicht gelagert, einzelne dm bis m mächtige Nagelfluhbänke; unterlagert wird der Kieskörper von rißzeitlichen Becken-/Moränensedimenten und Feinsedimenten der Oberen Süßwassermolasse (für Analyseergebnisse siehe Vorkommen L 8124/L 8126-47 und GLA 1998).</p> <p><b>Vereinfachtes Profil:</b> Bohrung BO8025/701 (R: <sup>35</sup>71 452, H: <sup>53</sup>13 015)</p> <table style="width: 100%; border-collapse: collapse;"> <tr> <td style="width: 10%; text-align: right;">0,0 –</td> <td style="width: 10%;">4,0 m</td> <td style="width: 80%;">Kiesverwitterungslehm</td> </tr> <tr> <td style="text-align: right;">4,0 –</td> <td>9,0 m</td> <td>Kies; lehmig, kalkfrei (komponentengestützte Diamikte des Rißkomplexes)</td> </tr> <tr> <td style="text-align: right;">9,0 –</td> <td>30,0 m</td> <td>Kies (Schotter des Rißkomplexes)</td> </tr> <tr> <td style="text-align: right;">30,0 –</td> <td>75,0 m</td> <td>Schluff; sandig, lagenweise schwach bis stark kiesig (Beckensedimente und Diamikte des Riß- und Mindelkomplexes)</td> </tr> <tr> <td style="text-align: right;">75,0 –</td> <td>120,0 m</td> <td>Mergel; feinsandig (Obere Süßwassermolasse)</td> </tr> </table> <p><b>Nutzbare Mächtigkeiten:</b> Die nutzbaren Kiesmächtigkeiten betragen durchschnittlich ca. 18–20 m (minimal 13 m, maximal 36 m). <b>Abraumverteilung:</b> Die Deckschichtmächtigkeit (Kiesverwitterungslehm und Diamikte) liegt meist zwischen 4,5 und 7 m (max. 14 m), im Bereich schmaler Abflussrinnen auch bis 11 m, im E des Vorkommens 2–6 m. <b>Grundwasser:</b> Die Grundwasseroberfläche liegt in der Rohstofferkundungsbohrung bei ca. 657 m NN (die untersten 2 m der Kiesablagerungen sind grundwassererfüllt). In den übrigen Bereichen des Vorkommens liegt der Grundwasserspiegel unterhalb der Nutzsicht.</p> <p><b>Mögliche Abbau- und Aufbereitungsschwernisse:</b> Bereichsweise mehrere Meter mächtige Nagelfluhkörper, die im Süden des Gebiets laterale Erstreckungen bis ca. 300 m aufweisen können; innerhalb anmooriger Abflussrinnen stark erhöhte Bedeckungsmächtigkeit (lokal bis 11 m), darunter höherer Anteil an verwitterten Kiesgeröllen.</p> <p><b>Flächenabgrenzung:</b> Im S und W Fortsetzung in Vorkommen L 8124/L 8126-47 mit mittlerem Lagerstättenpotenzial, im NE abnehmende Kiesmächtigkeit (Molassehoch bei Übelhör), im N und E Übergang zum Endmoränenwall (Abnahme der Kiesmächtigkeit und mächtige Deckschichten).</p> <p><b>Erläuterung zur Bewertung:</b> Neben den Kartierergebnissen zur Geologischen Karte GK 25 8025 (SCHREINER 1996) lagen der Bewertung Daten aus einer Rohstofferkundungsbohrungen des LGRB, einem Geoelektrikprofil und 23 Druckspülbohrungen (im Vorkommen selbst und unmittelbar randlich dazu) zugrunde (GLA 1998). Sowohl die Mächtigkeit und der Aufbau des relativ homogenen Kieskörpers als auch die Verteilung der Deckschichten konnte dadurch in weiten Teilen des Vorkommens festgestellt werden. In der Rohstofferkundungsbohrung Ro8025/B5 und in weiteren Spülbohrungen im zentralen Teil des Vorkommens (BO8025/622, 623, 626, 627, 701) wird jedoch das geforderte Abraum-/Nutzschichtverhältnis von 1 : 3 überschritten. Durch Eichbohrungen und verdichtende geoelektrischen Sondierungen sollten in der Zukunft Bereiche mit günstigen Untergrundverhältnissen genauer eingegrenzt werden (z. B. im Bereich der Straße von Rupprechts nach Laienbauer).</p> <p><b>Sonstiges:</b> Die Rißkiese im Gebiet nordöstlich von Dietmanns bilden eine schichtartige Ablagerung in einer 2–3 km breiten flachen Rinne am Rand des Wurzacher Rieds aus. Nach NE verzweigt sich die Rinne in zwei kleine flache Rinnen; das hier beschriebene Vorkommen liegt in einer der kleinen Rinnen, die sich von SW nach NE erstreckt (s. Vorkommen L 8124/L 8126-47). Die Kiesmächtigkeiten schwanken aufgrund der unregelmäßigen Morphologie der Kiesbasis sowie der oft rinnenartig eingeschnittenen lehmigen Deckschichten (GLA 1998).</p> |                                                                                                                                                  |                                                                                                                  |          | 0,0 – | 4,0 m | Kiesverwitterungslehm | 4,0 – | 9,0 m | Kies; lehmig, kalkfrei (komponentengestützte Diamikte des Rißkomplexes) | 9,0 – | 30,0 m | Kies (Schotter des Rißkomplexes) | 30,0 – | 75,0 m | Schluff; sandig, lagenweise schwach bis stark kiesig (Beckensedimente und Diamikte des Riß- und Mindelkomplexes) | 75,0 – | 120,0 m | Mergel; feinsandig (Obere Süßwassermolasse) |
| 0,0 –                                                                                                                                                                                                                                                                                                                                                                                                                                                                                                                                                                                                                                                                                                                                                                                                                                                                                                                                                                                                                                                                                                                                                                                                                                                                                                                                                                                                                                                                                                                                                                                                                                                                                                                                                                                                                                                                                                                                                                                                                                                                                                                                                                                                                                                                                                                                                                                                                                                                                                                                                                                                                                                                                                                                                                                                                                                                                                                                                                                                                                                                                                                                                                                                                                                                                                                                                                                                                                                                                                                                                                                                                                                                                                                                                                                                                                                                                                                                                                                                                                                                                                                                                                        | 4,0 m                                                                                                                                            | Kiesverwitterungslehm                                                                                            |          |       |       |                       |       |       |                                                                         |       |        |                                  |        |        |                                                                                                                  |        |         |                                             |
| 4,0 –                                                                                                                                                                                                                                                                                                                                                                                                                                                                                                                                                                                                                                                                                                                                                                                                                                                                                                                                                                                                                                                                                                                                                                                                                                                                                                                                                                                                                                                                                                                                                                                                                                                                                                                                                                                                                                                                                                                                                                                                                                                                                                                                                                                                                                                                                                                                                                                                                                                                                                                                                                                                                                                                                                                                                                                                                                                                                                                                                                                                                                                                                                                                                                                                                                                                                                                                                                                                                                                                                                                                                                                                                                                                                                                                                                                                                                                                                                                                                                                                                                                                                                                                                                        | 9,0 m                                                                                                                                            | Kies; lehmig, kalkfrei (komponentengestützte Diamikte des Rißkomplexes)                                          |          |       |       |                       |       |       |                                                                         |       |        |                                  |        |        |                                                                                                                  |        |         |                                             |
| 9,0 –                                                                                                                                                                                                                                                                                                                                                                                                                                                                                                                                                                                                                                                                                                                                                                                                                                                                                                                                                                                                                                                                                                                                                                                                                                                                                                                                                                                                                                                                                                                                                                                                                                                                                                                                                                                                                                                                                                                                                                                                                                                                                                                                                                                                                                                                                                                                                                                                                                                                                                                                                                                                                                                                                                                                                                                                                                                                                                                                                                                                                                                                                                                                                                                                                                                                                                                                                                                                                                                                                                                                                                                                                                                                                                                                                                                                                                                                                                                                                                                                                                                                                                                                                                        | 30,0 m                                                                                                                                           | Kies (Schotter des Rißkomplexes)                                                                                 |          |       |       |                       |       |       |                                                                         |       |        |                                  |        |        |                                                                                                                  |        |         |                                             |
| 30,0 –                                                                                                                                                                                                                                                                                                                                                                                                                                                                                                                                                                                                                                                                                                                                                                                                                                                                                                                                                                                                                                                                                                                                                                                                                                                                                                                                                                                                                                                                                                                                                                                                                                                                                                                                                                                                                                                                                                                                                                                                                                                                                                                                                                                                                                                                                                                                                                                                                                                                                                                                                                                                                                                                                                                                                                                                                                                                                                                                                                                                                                                                                                                                                                                                                                                                                                                                                                                                                                                                                                                                                                                                                                                                                                                                                                                                                                                                                                                                                                                                                                                                                                                                                                       | 75,0 m                                                                                                                                           | Schluff; sandig, lagenweise schwach bis stark kiesig (Beckensedimente und Diamikte des Riß- und Mindelkomplexes) |          |       |       |                       |       |       |                                                                         |       |        |                                  |        |        |                                                                                                                  |        |         |                                             |
| 75,0 –                                                                                                                                                                                                                                                                                                                                                                                                                                                                                                                                                                                                                                                                                                                                                                                                                                                                                                                                                                                                                                                                                                                                                                                                                                                                                                                                                                                                                                                                                                                                                                                                                                                                                                                                                                                                                                                                                                                                                                                                                                                                                                                                                                                                                                                                                                                                                                                                                                                                                                                                                                                                                                                                                                                                                                                                                                                                                                                                                                                                                                                                                                                                                                                                                                                                                                                                                                                                                                                                                                                                                                                                                                                                                                                                                                                                                                                                                                                                                                                                                                                                                                                                                                       | 120,0 m                                                                                                                                          | Mergel; feinsandig (Obere Süßwassermolasse)                                                                      |          |       |       |                       |       |       |                                                                         |       |        |                                  |        |        |                                                                                                                  |        |         |                                             |

**Zusammenfassung:** Der homogene rißzeitliche Sedimentkörper NE Dietmanns ist aus sandigen, schwach schluffigen, schwach steinigen bis steinigen Fein- bis Grobkiesablagerungen aufgebaut. Bereichsweise können bis max. 4 m mächtige Nagelfluhbildungen mit einer lateralen Erstreckung von 300 m auftreten (Abb. 3). Der durchschnittlich 18–20 m mächtige Kieskörper wird von 4,5–7 m mächtigen lehmigen Deckschichten überlagert (lokal bis 14 m). Die Kiesablagerungen können größtenteils im Trockenabbau gewonnen werden. Das Abraum-/Nutzschichtverhältnis liegt im Mittel bei 1 : 3 bis 1 : 4. Dem Vorkommen wird aufgrund des raschen Wechsels der Bedeckungsmächtigkeit und der nutzbaren Kiesmächtigkeit ein geringes Lagerstättenpotenzial zugewiesen. Weitere Erkundungen zur Abgrenzung bauwürdiger Abschnitte sind erforderlich.



**Legende zu den geologischen Schnitten**

Ro8025/B6 Rohstofferkundungsbohrung des LGRB

BO8025/702 sonstige Bohrung (LGRB-Archiv-Nr.)

Deckenschicht, Verwitterungslehm (Ton, Schluff)

Fossiler Boden (Kies, Sand, Schluff, verwittert)

Moränensedimente (Schluff, kiesig, sandig)

Beckensediment (Ton, Schluff, Sand)

unbestimmte Sedimente (überw. Feinsedimente)

stark schluffiger Schotter, komponentengestützter Diamikt

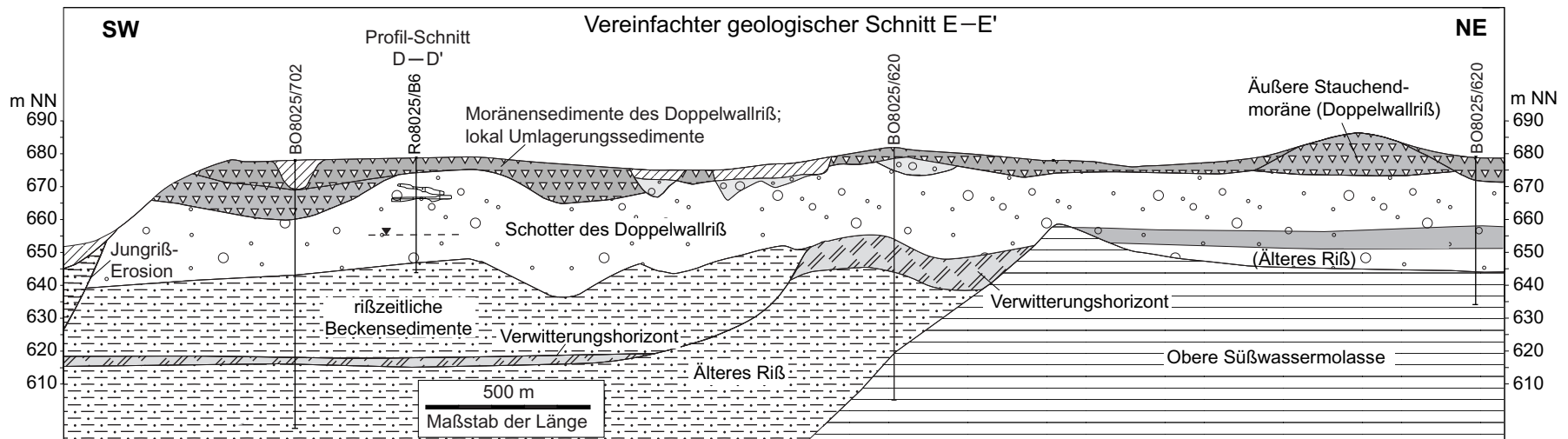
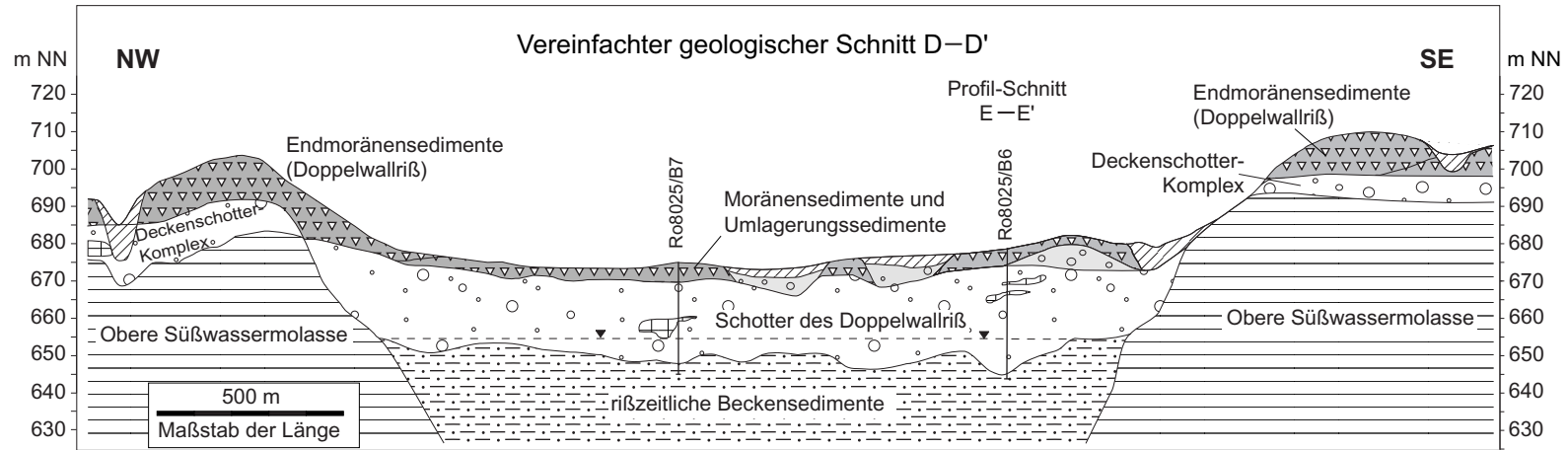
Schotter (Kies aller Körnungen, sandig)

Nagelfluh (karbonatisch zementierter Kies)

Obere Süßwassermolasse

Grundwasserspiegel

Abb. 3: Rißzeitliche Schottervorkommen NW des Wurzacher Beckens bei Dietmanns. Der Profilschnitt D-D' zeigt die rinnenförmige Verbreitung der fluviatilen Kiesablagerungen. Sowohl die Basis der Nutzschrift als auch die Überlagerungsmächtigkeit der schluffigen Deckschicht schwankt deutlich innerhalb der Vorkommen L 8124/L 8126-47 und -48 (s. Profilschnitt E-E', zur Lage der beiden Profilschnitte s. Karte; aus LGRB 1998, Anl. 7-2 und 7-3; vereinfacht).



**Legende zu den geologischen Schnitten**

- |                                               |                                                  |                                                           |                                            |
|-----------------------------------------------|--------------------------------------------------|-----------------------------------------------------------|--------------------------------------------|
| Ro8025/B6 Rohstofferkundungsbohrung des LGRB  | Fossiler Boden (Kies, Sand, Schluff; verwittert) | unbestimmte Sedimente (überw. Feinsedimente)              | Nagelfluh (karbonatisch zementierter Kies) |
| BO8025/702 sonstige Bohrung (LGRB-Archiv-Nr.) | Moränensedimente (Schluff, kiesig, sandig)       | stark schluffiger Schotter, komponentengestützter Diamikt | Obere Süßwassermolasse                     |
| Deckschicht, Verwitterungslehm (Ton, Schluff) | Beckensediment (Ton, Schluff, Sand)              | Schotter (Kies aller Körnungen, sandig)                   | Grundwasserspiegel                         |

Abb. 3: Rißzeitliche Schottervorkommen NW des Wurzacher Beckens bei Dietmanns. Der Profilschnitt D-D' zeigt die rinnenförmige Verbreitung der fluviatilen Kiesablagerungen. Sowohl die Basis der Nutzschrift als auch die Überlagerungsmächtigkeit der schluffigen Deckschicht schwankt deutlich innerhalb der Vorkommen L 8124/L 8126-47 und -48 (s. Profilschnitt E-E', zur Lage der beiden Profilschnitte s. Karte; aus LGRB 1998, Anl. 7-2 und 7-3; vereinfacht).